

ИССЛЕДОВАНИЕ ПРОЦЕССОВ МАГНЕТРОННОГО СИНТЕЗА МНОГОСЛОЙНЫХ СТРУКТУР НА ОСНОВЕ СИСТЕМЫ ZnO-SnO₂

STUDY OF MAGNETRON GROWTH PROCESSES OF MULTILAYERED STRUCTURES BASED ON THE ZNO-SNO₂ SYSTEM

А.Х. Абдуев¹ / a_abduev@mail.ru, А.К. Ахмедов¹, А.Ш. Асваров^{1,2}, А.М. Зимин³, С.В. Серушкин³

A.Kh. Abduev, A.K. Akhmedov, A.Sh. Asvarov, A.M. Zimin, S.V. Serushkin,

¹Институт физики Дагестанского федерального исследовательского центра РАН, г.Махачкала

²ФНИЦ «Кристаллография и фотоника» РАН, г. Москва

³МГТУ им. Н.Э. Баумана, г. Москва

Изучены структурные особенности слоев, синтезированных при магнетронном распылении металлической мишени Zn–Sn, керамической мишени ZnO–SnO₂ и металлокерамической мишени (ZnO–SnO₂)+10 вес.%(Zn–Sn) при температурах подложек 50 и 200°C. Обнаружено явление самоорганизации при магнетронном распылении мишеней Zn–Sn и (ZnO–SnO₂)+10 вес.%(Zn–Sn). Исследовано поведение промежуточных слоев металла (Me: Zn или Sn) в структурах ZnO/Me/ZnO. Рассмотрены возможные механизмы формирования периодических структур.

The structural features of the zinc-tin oxide layers synthesized at substrate temperatures of 50 and 200°C by magnetron sputtering of a Zn–Sn metal target, a ZnO–SnO₂ ceramic target, and a cermet target (ZnO–SnO₂)+10 weight %(Zn–Sn) were studied. The phenomenon of self-organization was found during magnetron sputtering of the Zn–Sn and ((ZnO–SnO₂)+10 weight %(Zn–Sn) targets. The behavior of the intermediate layers of the metal (Me: Zn or Sn) in the ZnO / Me / ZnO structures has been investigated. Possible mechanisms of the formation of periodic structures are considered.

Ключевые слова: ZnO, SnO₂, мишень, самоорганизация, ионная бомбардировка, плазма.

Keywords: ZnO, SnO₂, coalescence, target, self-organization, ion bombardment, plasma.

ВВЕДЕНИЕ

Исследование перспектив использования структур на основе системы ZnO–SnO₂ обусловлено поиском альтернативных материалов для компонентов прозрачной электроники нового поколения [1]. Особый интерес к материалу вызван также и перспективами создания аморфных компонентов с высокой однородностью структуры для компонентов систем отображения информации [2]. Настоящая работа посвящена изучению структурных особенностей формирования слоев на основе системы ZnO–SnO₂ при dc магнетронном распылении металлической Zn–Sn, керамической ZnO–SnO₂ и композитной металлокерамических (ZnO–SnO₂)+10 вес.%(Zn–Sn) мишеней.

МЕТОДЫ ИССЛЕДОВАНИЯ

Мишени для формирования слоев были получены методом электроискрового плазменного спекания (SPS). Давление прессования составляло 25МПа, скорость выхода на режим – 100°C/мин, длительность процесса спекания 5 минут. Металлическая мишень Zn (50 ат.%)–Sn (50 ат. %) плотностью 6,70 г/см³ или 98% от теоретической плотности для

данного состава ($\rho_{\text{теор}} = 7,22 \text{ г/см}^3$), была получена при температуре 400°C . Температура синтеза керамической мишени была выбрана на уровне 900°C , что обеспечило достижение приемлемой плотности $5,96 \text{ г/см}^3$ (или 95% от $\rho_{\text{теор}} = 6,3 \text{ г/см}^3$) при минимальной вероятности изменения исходного состава и стехиометрии. Ввиду относительно высокого давления паров цинка для снижения его потери за счет испарения температура спекания металлокерамической мишени была снижена до 850°C . Плотность композитной металлокерамической мишени составила $5,95 \text{ г/см}^3$ или 93 % от $\rho_{\text{теор}} = 6,36 \text{ г/см}^3$.

Синтез слоев проводился в вакуумной установке ALCATEL, оснащенной магнетронным узлом с диаметром распыляемой мишени 7 см. Распыление керамической и металлокерамической мишеней производилось в атмосфере аргона чистотой 5N, а металлической мишени - в смеси газов $\text{Ar}+\text{O}_2$ (2:1) и чистого кислорода при рабочем давлении 1Па.

Электронные микрофотографии синтезированных слоев получены с помощью растрового электронного микроскопа (SEM Leo-1450, Карл Цейсс, Германия). Для рентгеноструктурных исследований использован порошковый дифрактометр Empyrean (PANalytical B.V., Нидерланды). Спектральные исследования излучения плазмы магнетронного разряда проведены с помощью оптоволоконного спектрофотометра AvaSpec-2048 (Avantes BV, Нидерланды).

РЕЗУЛЬТАТЫ

На рис. 1 приведены дифрактограммы слоев, синтезированных при магнетронном распылении металлической Zn-Sn , керамической ZnO-SnO_2 и металлокерамической $(\text{ZnO-SnO}_2)+10 \text{ вес.}\%(\text{Zn-Sn})$ мишеней при температурах подложек 50 и 200°C .

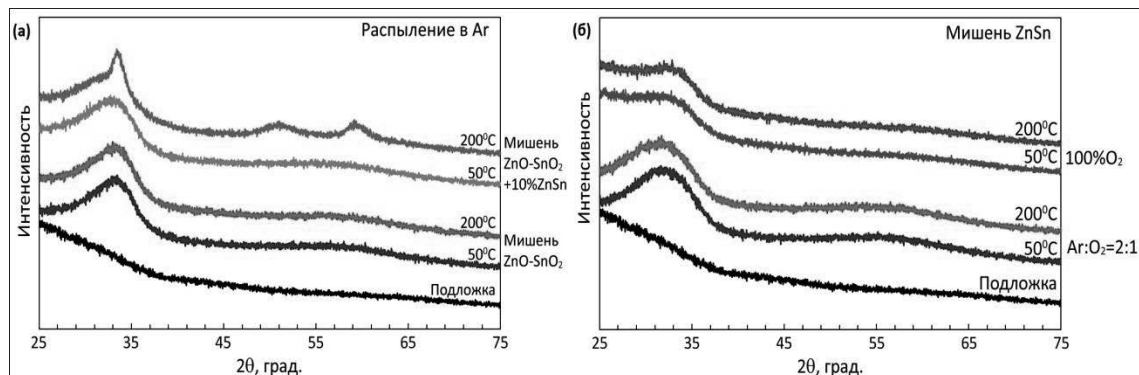


Рис.1. Дифрактограммы слоев, синтезированных при температуре подложек 50 и 200°C : (а) – при магнетронном распылении металлокерамической $(\text{ZnO-SnO}_2)+10 \text{ вес.}\%(\text{Zn-Sn})$ и керамической ZnO-SnO_2 мишеней; (б) – при магнетронном распылении металлической мишени Zn-Sn в среде O_2 и $\text{Ar}+\text{O}_2$.

Приведенные данные показывают, что распыление мишеней при температурах до 200°C приводит к формированию аморфных или сильно разупорядоченных структур. Известно, что слои ZnO-SnO_2 с содержанием олова выше 15%, синтезированные при температурах ниже 250°C , имеют сильно разупорядоченную близкую к аморфной структуру [1,2].

Незначительный рост кристалличности наблюдается лишь в слоях, осаждаемых при 200°C при распылении композитной металлокерамической мишени и может быть объяснен увеличением длины миграции осаждаемых атомов на поверхности роста при увеличении температуры подложек в условиях дефицита кислорода в составе потока реагентов.

На рис. 2 показаны SEM-микрофотографии поперечных сколов слоев, синтезированных при распылении металлической Zn-Sn , керамической ZnO-SnO_2 и

металлокерамической (ZnO–SnO₂)+10 вес.%(Zn–Sn) мишеней при температурах подложек 50 и 200°C.

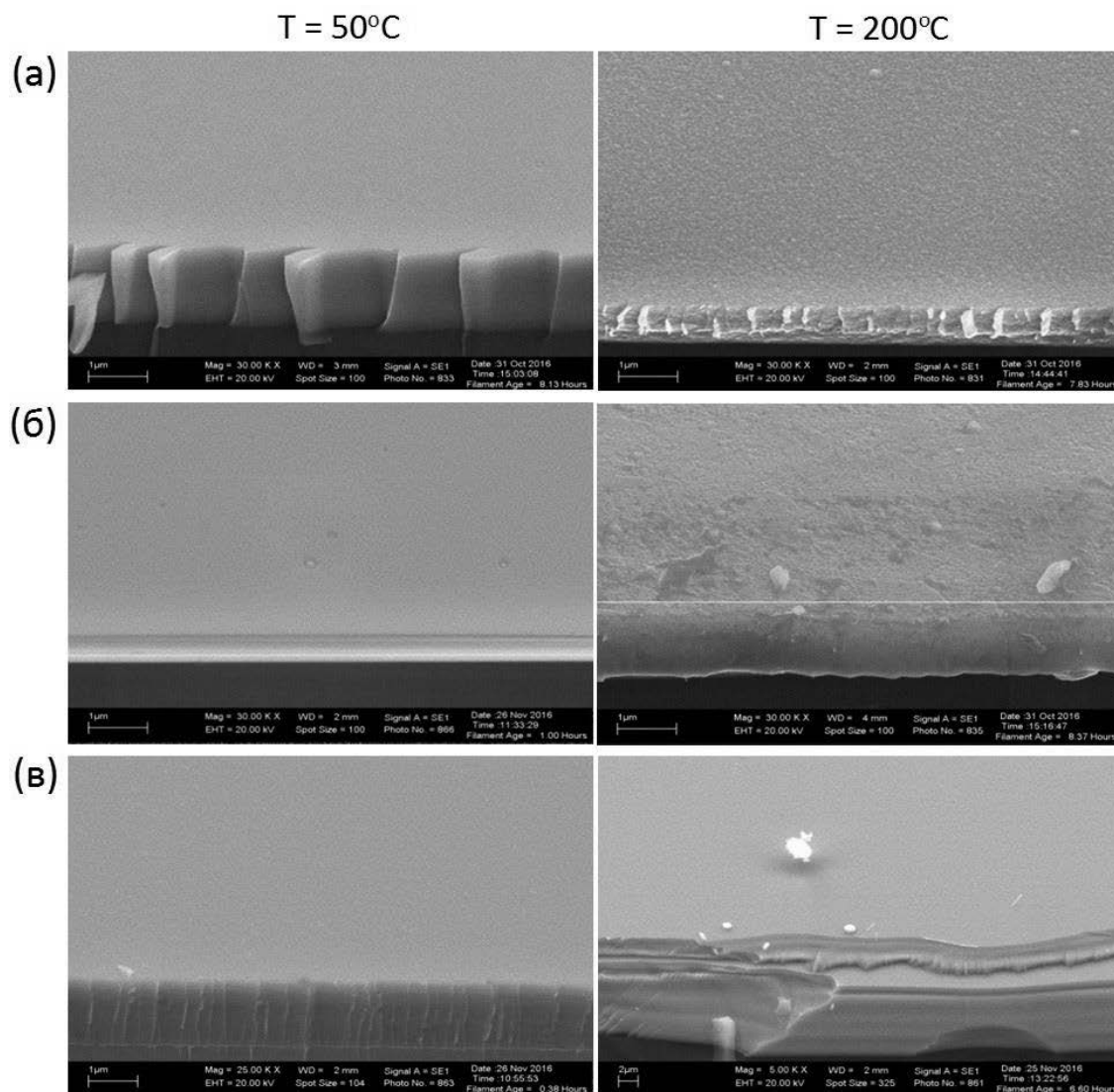


Рис.2. Микрофотографии слоев, синтезированных при температурах подложек 50 и 200°C при магнетронном распылении: (а) – керамической мишени ZnO–SnO₂ в среде аргона; (б) – металлокерамической мишени (ZnO–SnO₂)+10 вес.%(Zn–Sn) в среде аргона; (в) –металлической мишени Zn–Sn в среде Ar+O₂.

Поверхность слоев, полученных при распылении керамической мишени ZnO–SnO₂, формируемых при комнатной температуре гладкая и однородная без видимых признаков структуризации, что хорошо согласуется с данными рентгеноструктурного анализа. С ростом температуры синтеза до 200°C поверхность слоев приобретает зернистую структуру с характерным размером элементов 30 – 50нм.

Поперечные сколы слоев, синтезированных при распылении мишени (ZnO–SnO₂)+10 вес.%(Zn–Sn) при 50°C и мишени Zn–Sn при 200°C, обнаруживают формирование многослойных периодических структур. Период наблюдаемых структур составляет около 100 нм.

О формировании периодических структур при распылении композитных мишеней на основе системы ZnO-SnO₂, насколько известно авторам, ранее в открытой печати не сообщалось. В исследованиях, посвященных процессам распыления слоев из композитных мишеней Cu-C, сообщалось о наблюдении явлений самоорганизации [3, 4]. Выдвигается

модель, согласно которой формирование периодических структур происходит в результате ионной бомбардировки поверхности, приводящей к образованию аморфного слоя толщиной 3 нм, в котором инициируется пространственно-модулированное фазовое разделение. Показано, что модуляция многослойных слоев индуцируются поверхностным ионным ударом.

Для изучения этого сценария нами было выполнено исследование процессов формирования и отжига трехслойных структур ZnO/Sn/ZnO и ZnO/Sn/ZnO.

Трехслойная тонкопленочная структура ZnO_{250нм}/Zn_{200нм}/ZnO_{250нм} была синтезирована при температуре 50°C путем последовательного dc магнетронного распыления мишеней ZnO и Zn. На рис. 3а приведены SEM микрофотографии поперечных сколов исходной структуры и структур, подвергнутых термообработке в течение 30 минут при температуре 380°C в вакууме и в открытой атмосфере (в). Можно видеть, что в исходной структуре, несмотря на идентичные условия синтеза, верхний слой ZnO существенно отличается по структуре от нижнего: размер столбов верхнего слоя многократно превышает соответствующий размер нижнего. Увеличение размера столбов верхнего слоя ZnO нуждается в интерпретации. Известно, что диаметр столбов в столбчатых тонкопленочных структурах монотонно увеличивается с ростом длины миграции атомов на поверхности роста [5]. Можно предположить, что зарождение верхнего слоя ZnO происходит в условиях диффузии атомов цинка из цинкового подслоя к поверхности роста ZnO. Высокая подвижность атомов цинка на поверхности роста при относительно низкой температуре подложек ($T_{подл} < -100$ °C) подтверждена в [6].

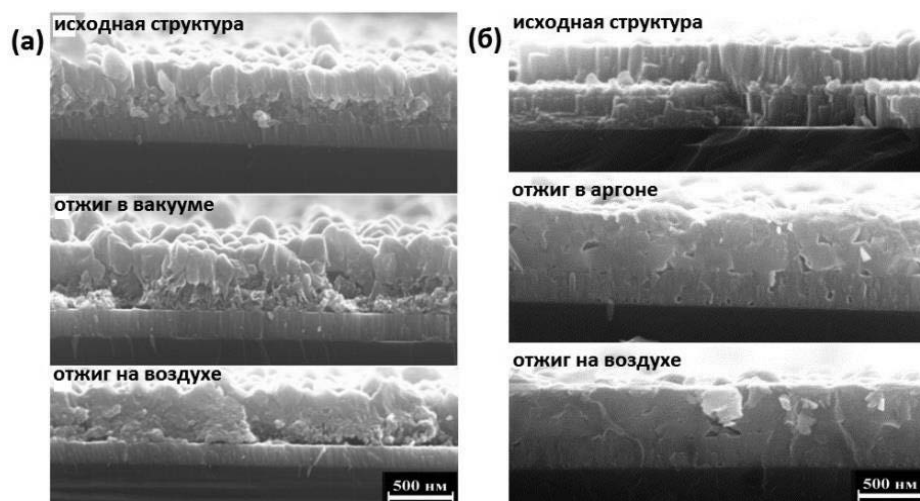


Рис.3. Микрофотографии поперечных сколов исходных и подвергнутых отжигам трехслойных структур ZnO/Zn/ZnO (а) и ZnO/Sn/ZnO (б).

Аналогично была синтезирована и подвергнута отжигам трехслойная тонкопленочная структура ZnO_{300 нм}/Sn_{100 нм}/ZnO_{300 нм} при температуре 50°C путем последовательного dc магнетронного распыления мишеней ZnO и Sn. На рис. 3б приведены микрофотографии поверхностей и поперечных сколов исходной структуры и структур ZnO/Sn/ZnO, подвергнутых термообработке при температуре 800°C в атмосфере аргона и в открытой среде. Из микрофотографий скола исходной структуры можно видеть, что морфология сколов верхнего и нижнего слоев ZnO практически идентична. Изотропный характер трансформации структуры ZnO/Sn/ZnO после отжигов обусловлен тем, что рекристаллизация слоев оксида цинка происходит в условиях наличия на границах зерен ZnO жидкой фазы, формирующейся в результате термодиффузии атомов легкоплавкого олова в верхний и нижний слой ZnO. Дополнительные XRD исследования показали, что в отожженных структурах помимо основной фазы оксида цинка появляется дополнительная фаза шпинели Zn₂SnO₄.

Далее было исследовано излучение плазмы магнетронного разряда при dc магнетронном распылении мишени $(\text{ZnO-SnO}_2)+10 \text{ вес.}\%(\text{Zn-Sn})$. Целью эксперимента являлось выявление наличия или отсутствия модуляции интенсивностей потоков цинка, олова, кислорода в магнетронной плазме. Выполненные исследования не обнаружили периодического изменения интенсивностей спектральных линий излучения атомов Zn, O и Sn в магнетронном разряде (рис. 4), что может свидетельствовать о постоянстве потоков реагентов, формируемых при распылении мишени. Выполненный эксперимент позволили сделать следующие выводы:

- формирование периодической структуры не обусловлено изменением состава распыляемых материалов;
- наличие в составе потока реагентов паров цинка и олова позволяют сформировать на поверхности роста жидкофазный слой;

Выполненные нами эксперименты с отжигом трехслойных структур показывают, что как и в случае формирования структур Cu-C, в нашем случае на поверхности формируется фаза цинка.

Известно, что приповерхностный слой в результате ионной бомбардировки отрицательными ионами кислорода достигает значительных температур. Можно полагать, что данный разогретый слой является растворителем для молекул ZnO и SnO₂. Можно предположить, что наблюдаемые периодические структуры формируются в результате некоторых неустойчивостей (автоколебаний), что требует дополнительных исследований.

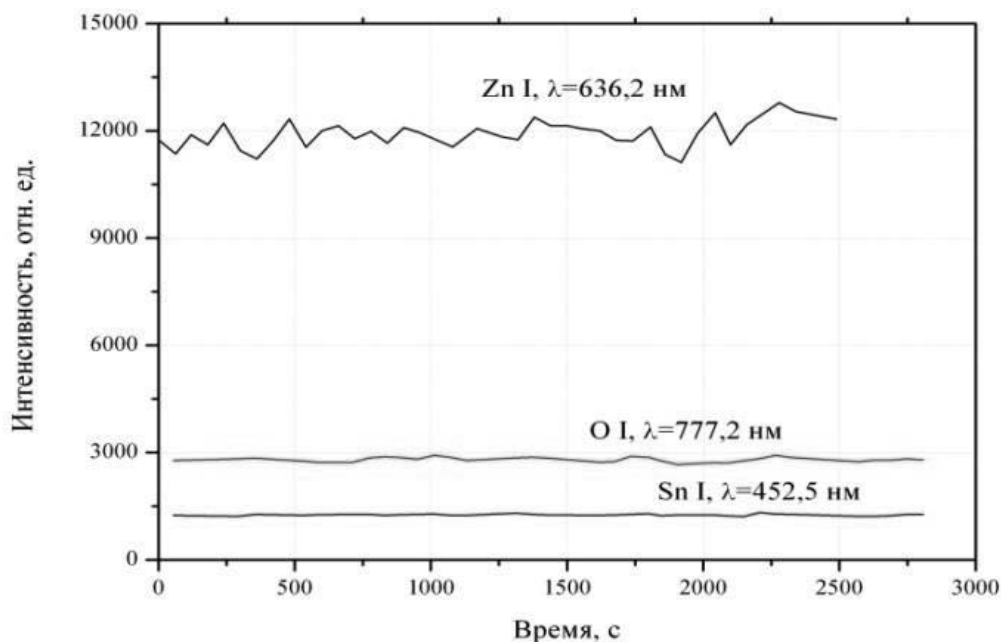


Рис.4. Интенсивность спектральных линий излучения магнетронной плазмы при распылении мишени $(\text{ZnO-SnO}_2)+10 \text{ вес.}\%(\text{Zn-Sn})$.

ВЫВОДЫ

Выполненные исследования впервые показали протекание процесса самоорганизации структуры слоев при магнетронном распылении мишеней $(\text{ZnO-SnO}_2)+10 \text{ вес.}\%(\text{Zn-Sn})$. Анализ полученных результатов позволяет предположить, что формирование периодической структуры обусловлено пространственно-модулированным фазовым разделением, протекающим в условиях ионной бомбардировки и формирования на поверхности роста жидкой металлической фазы.

Работа выполнена при частичной поддержке Российского фонда фундаментальных исследований (№ 20-07-00760_A, № 20-02-00373_A) с привлечением оборудования Аналитического центра коллективного пользования ДФИЦ РАН.

ЛИТЕРАТУРА

1. С.А. Белоусов, Многокомпонентные металлооксиды на основе ZnO и SnO₂ для использования в тонкопленочных прозрачных транзисторах. Диссертация на соискание ученой степени кандидата технических наук. Воронежский государственный технический университет, 2017, 134 с.
2. R. Acharya, Y.Q. Zhang, X.A. Cao, Characterization of zinc-tin-oxide films deposited by thermal co-evaporation, *Thin Solid Films*. 520 (2012) 6130–6133.
3. W.-Q. Wang, L. Ji, H.-X. Li, X.-H. Liu, H.-D. Zhou, J.-M. Chen, Controllable fabrication of self-organized nano-multilayers in copper–carbon films, *Chinese Physics B*. 28(3) (2019) 036802.
4. W.Y. Wu, J.M. Ting, Comparative study of self-assembling of multilayers using reactive sputter deposition and mass selective ion beam deposition, *Carbon*. 44 (2006) 1210–1217.
5. J. Cho, S.G. Terry, R. Lesar, C.G. Levi, A kinetic Monte Carlo simulation of film growth by physical vapor deposition on rotating substrates, *Materials Science and Engineering: A*. 391 (2005) 390–401.
6. A.K. Abduev, A.K. Akhmedov, A.S. Asvarov, N.M.-R. Alikhanov, R.M. Emirov, A.E. Muslimov, V.V. Belyaev, Gas-phase clusterization of zinc during magnetron sputtering, *Crystallography Reports*. 62 (2017) 133–138.